



Московский государственный университет имени М. В. Ломоносова
Факультет вычислительной математики и кибернетики
Кафедра системного анализа

Отчёт по практикуму

«Построение множества достижимости»

Студент 315 группы
М. М. Савинов

Руководитель практикума
к.ф.-м.н., доцент П. А. Точилин

Москва, 2021

Содержание

1	Постановка задачи	3
2	Теоритическая часть	4
2.1	Принцип Гамильтона–Понтрягина	4
2.2	Вспомогательные утверждения	4
3	Алгоритм численного решения	6
4	Различные примеры выполнения программ	7
5	Библиография	11

1 Постановка задачи

Задано обыкновенное дифференциальное уравнение:

$$\ddot{x} + x^3 \cos(2\dot{x}) + \sin(2x) + \dot{x} = u, \quad (1)$$

где $x \in \mathbb{R}$, $u \in \mathbb{R}$. На возможные значения управляющего параметра u наложено ограничение: $u \in [-\alpha, \alpha]$. Задан начальный момент времени $t_0 = 0$ и начальная позиция $x(t_0) = \dot{x}(t_0) = 0$. Необходимо построить множество достижимости $X(t, t_0, x(t_0), \dot{x}(t_0))$ (множество пар $(x(t), \dot{x}(t))$) в классе программных управлений в заданный момент времени $t \geq t_0$.

1. Необходимо написать в среде MatLab функцию `reachset(alpha, t)`, которая по заданным параметрам $\alpha > 0, t \geq t_0$ рассчитывает приближенно множество достижимости $X(t, t_0, x(t_0), \dot{x}(t_0))$. На выходе функции — два массива X, Y с упорядоченными координатами точек многоугольника, образующего границу искомого множества. Точки в этих массивах должны быть упорядочены так, чтобы результаты работы функции без дополнительной обработки можно было подавать на вход функциям визуализации (например, `plot`). Предусмотреть такой режим работы функции, при котором она возвращает также координаты линий переключения оптимального управления (с возможностью их визуализации).
2. Необходимо реализовать функцию `reachsetdyn(alpha, t1, t2, N, filename)`, которая, используя функцию `reachset(alpha, t)`, строит множества достижимости для моментов времени $\tau_i = t_1 + i \frac{t_2 - t_1}{N}, i = 0, 1, \dots, N$. Здесь $t_2 \geq t_1 \geq t_0$, N — натуральное число. Для каждого момента времени τ_i функция должна отобразить многоугольник, аппроксимирующий границу множества достижимости. Результат работы функции должен быть сохранен в виде видео-файла `filename.avi`. Необходимо также предусмотреть вариант работы функции (при отсутствии параметра `filename`) без сохранения в файл, с выводом непосредственно на экран. Как частный случай, функция должна иметь возможности строить границу множества достижимости в один фиксированный момент времени (при $t_2 = t_1$).
3. В соответствующем заданию отчете необходимо привести все теоретические выкладки, сделанные в ходе построения множества достижимости, описать схему алгоритма построения множества достижимости программой, привести примеры построенных множеств достижимости (с иллюстрациями), исследовать зависимость множеств достижимости от величины параметра α . Все вспомогательные утверждения (за исключением принципа максимума Понтрягина), указанные в отчете, должны быть доказаны.

2 Теоритическая часть

2.1 Принцип Гамильтона–Понтрягина

Пусть задана задача оптимального управления.

$$\begin{cases} \dot{x} = f(x(t), u(t)), \\ u(t) \in \mathcal{P}, \\ f = (f^1, \dots, f^n). \end{cases}$$

Здесь $x = (x_1, x_2, \dots, x_n)$. В качестве \mathcal{P} можно рассматривать, например, $\mathcal{P} \in \text{conv} \mathbb{R}^m$, $u(\cdot)$ — измерима.

Сопряженными переменными будем называть $\tilde{\psi} = (\psi_1, \dots, \psi_n)'$.

$\tilde{\mathcal{H}}(\tilde{\psi}, \tilde{x}, u) = \langle \tilde{\psi}, \tilde{f}(x, u) \rangle$ — называется функционалом Гамильтона–Понтрягина. Будем обозначать $\mathcal{M}(\tilde{\psi}(t), \tilde{x}(t)) = \sup_{u(\cdot) \in \mathcal{P}} \tilde{\mathcal{H}}(\tilde{\psi}(t), \tilde{x}(t), u(t))$.

Теорема 1 (Принцип максимума Понтрягина.) Пусть $\{x^*(\cdot), u^*(\cdot)\}$ — оптимальная пара в смысле быстрогодействия. Тогда существует $\tilde{\psi}^*(\cdot) : [t_0, T] \rightarrow \mathbb{R}^n$ такая, что:

$$(УН) \quad \tilde{\psi}^*(\cdot) \not\equiv 0 \Leftrightarrow \tilde{\psi}^*(t) \neq 0, \text{ для н.в. } t \in [t_0, T];$$

$$(CC)$$

$$\dot{\tilde{\psi}}^* = -\frac{\partial \tilde{\mathcal{H}}}{\partial \tilde{x}}, \text{ для н.в. } t \in [t_0, T];$$

$$(УМ) \quad \mathcal{M}(\tilde{\psi}(t), \tilde{x}(t)) = \tilde{\mathcal{H}}(\tilde{\psi}^*(t), \tilde{x}^*(t), u^*(t)) = \sup_{u(\cdot) \in \mathcal{P}} \tilde{\mathcal{H}}(\tilde{\psi}^*(t), \tilde{x}^*(t), u(t)), \text{ для н.в. } t \in [t_0, T];$$

$$(Усл_4) \quad \mathcal{M}(\tilde{\psi}(t), \tilde{x}(t)) \equiv \text{const} \geq 0;$$

Доказательство можно найти в [1].

2.2 Вспомогательные утверждения

Представим (1) в виде системы дифференциальных уравнений сделав замену $x_1 = x$, $\dot{x}_1 = x_2$, и учитывая начальные условия, получаем:

$$\begin{cases} \dot{x}_1 = x_2; \\ \dot{x}_2 = u - x_2 - \sin(2x_1) - x_1^3 \cos(2x_2); \\ x_1(t_0) = 0; \\ x_2(t_0) = 0. \end{cases} \quad (2)$$

Запишем функционал Г–П:

$$\tilde{\mathcal{H}}(\tilde{\psi}, \tilde{x}, u) = \psi_1 x_2 + \psi_2 (u - x_2 - \sin(2x_1) - x_1^3 \cos(2x_2)). \quad (3)$$

Теперь запишем (CC) для заданной задачи:

$$\begin{cases} \dot{\psi}_1 = 2\psi_2 \cos(2x_1) + 3\psi_2 x_1^2 \cos(2x_2); \\ \dot{\psi}_2 = -\psi_1 + \psi_2 - 2\psi_2 x_1^3 \sin(2x_2). \end{cases} \quad (4)$$

Из (УМ) следует, что управление принимает вид:

$$\begin{cases} u = \alpha, & \text{при } \psi_2 > 0; \\ u = -\alpha, & \text{при } \psi_2 < 0; \\ u = [-\alpha, \alpha], & \text{при } \psi_2 = 0. \end{cases} \quad (5)$$

Сформулируем некоторые вспомогательные утверждения:

Теорема 2 Множество достижимости $\mathcal{X}(t_1) \subseteq \mathcal{X}(t_2)$, $t_0 \leq t_1 \leq t_2$.

Доказательство. Система имеет точку покоя $x = (x_1, x_2) = (0, 0)$. Если $u_0(t)$ — управление для некоторой точки из $\mathcal{X}(t_1)$, то достаточно взять управление $u = 0$ на отрезке $[t_0, t_0 + t_2 - t_1]$ и $u = u_1(t - t_2 + t_1)$ на отрезке $[t_0 + t_2 - t_1, t_2]$, поэтому эта точка находится в $\mathcal{X}(t_2)$.

Теорема 3 (О конечном числе нулей.) Пусть $u^*(t)$ — оптимальное управление для системы (2), тогда ψ_2 имеет конечное число нулей на отрезке $[t_0, T]$.

Доказательство. Пусть на конечном интервале времени ψ_2 имеет счетное число нулей на ограниченном сегменте $[t_0, T]$. Тогда у множества нулей есть точка накопления t^* . В этой точке накопления $\psi_2(t^*) = 0$, $\dot{\psi}_2(t^*) = 0$, из (4) следует, что $\psi_1 = 0$, что противоречит (УН). Получаем противоречие, поэтому число нулей конечно. Теорема доказана.

Из теоремы 2 следует, что особый режим не возникает на существенном промежутке времени, поэтому будем рассматривать только управление $u = \alpha \cdot \text{sign}(\psi_2)$.

Используя это следствие и (2), (4) получим систему:

$$\begin{cases} \dot{x}_1 = x_2; \\ \dot{x}_2 = \alpha \cdot \text{sign}(\psi_2) - x_2 - \sin(2x_1) - x_1^3 \cos(2x_2); \\ \dot{\psi}_1 = 2\psi_2 \cos(2x_1) + 3\psi_2 x_1^2 \cos(2x_2); \\ \dot{\psi}_2 = -\psi_1 + \psi_2 - 2\psi_2 x_1^3 \sin(2x_2). \end{cases} \quad (6)$$

Теорема 4 Пусть $(x^*(t), u^*(t))$ — оптимальная пара для времени быстрогодействия T , $\psi_1(t)$, $\psi_2(t)$ — решение сопряженной системы. Тогда для любых τ_1 , τ_2 таких, что $0 < \tau_1 < \tau_2 < T$ справедливы следующие утверждения:

1. Если $\psi_2(\tau_1) = 0$, $\psi_2(\tau_2) = 0$ и $x_2(\tau_1) = 0$, то $x_2(\tau_2) = 0$.
2. Если $\psi_2(\tau_1) = \psi_2(\tau_2) = 0$ и $x_2(\tau_1) \neq 0$, то $x_2(\tau_2) \neq 0$ и существует $\tilde{\tau} \in [\tau_1, \tau_2]$, такой, что $x_2(\tilde{\tau}) = 0$.
3. Если $x_2(\tau_1) = x_2(\tau_2) = 0$, $x_2(\tau) \neq 0$, $\forall \tau \in (\tau_1, \tau_2)$ и $\psi_2(\tau_1) = 0$, тогда $\psi_2(\tau_2) = 0$.
4. Если $x_2(\tau_1) = x_2(\tau_2) = 0$, $x_2(\tau) \neq 0$, $\forall \tau \in (\tau_1, \tau_2)$ и $\psi_2(\tau_1) \neq 0$, тогда $\psi_2(\tau_2) \neq 0$ и существует $\tilde{\tau} \in [\tau_1, \tau_2]$, такой, что $\psi_2(\tilde{\tau}) = 0$.

Доказательство.

1. Применим (Усл4), для моментов τ_1, τ_2 , получим $\psi_1(\tau_1)x_2(\tau_1) = \psi_1(\tau_2)x_2(\tau_2)$. $x_2(\tau_1) = 0 \Rightarrow \psi_1(\tau_2)x_2(\tau_2) = 0$, по условию $\psi_2(\tau_2) = 0$, а так как вектор $\psi(\cdot)$ ненулевой, то $\psi_1(\tau_2) \neq 0, \Rightarrow x_2(\tau_2) = 0$.
2. Применим (Усл4), для моментов τ_1, τ_2 , получим $\psi_1(\tau_1)x_2(\tau_1) = \psi_1(\tau_2)x_2(\tau_2) \geq 0$. Так как $x_2(\tau_1) \neq 0$, то $x(\tau_1)x(\tau_2) < 0$, то есть $x_2(t)$ имеет единственный корень на $[\tau_1, \tau_2]$.
3. Пусть $x_2(\tau_1) = x_2(\tau_2) = 0$, $x_2(\tau) \neq 0, \forall \tau \in (\tau_1, \tau_2)$, $\psi_2(\tau_1) = 0$. Тогда из пункта 1 этого доказательства получаем, что $\psi_2(\tau) \neq 0 \forall \tau \in (\tau_1, \tau_2)$. Тогда

$$\frac{d}{dt}\mathcal{M} = \frac{d}{dt}(x_2\psi_1 + \dot{x}_2\psi_2) = 0.$$

Отсюда получаем:

$$\dot{x}_2(\tau_1)\psi_2(\tau_1) = \dot{x}_2(\tau_2)\psi_2(\tau_2).$$

Так как $\psi_2(\tau_1) = 0$, и x_2 — нетривиальное решение, то $\psi_2(\tau_2) = 0$.

4. Из 3 пункта этого доказательства следует, что $\psi_2(\tau_2) \neq 0$. Пусть $\psi_2(\tau)$ не имеет нуля на $[\tau_1, \tau_2]$. Тогда $\dot{x}_1(\tau_1)\dot{x}_2(\tau_2) > 0$, тогда получаем противоречие с тем, что τ_1, τ_2 последовательные нули функции $x_2(t)$.

Для удобства описания численного алгоритма введем следующие системы S^+ и S^- соответственно:

$$\begin{cases} \dot{x}_1 = x_2; \\ \dot{x}_2 = \alpha - x_2 - \sin(2x_1) - x_1^3 \cos(2x_2); \end{cases} \quad (7)$$

$$\begin{cases} \dot{x}_1 = x_2; \\ \dot{x}_2 = -\alpha - x_2 - \sin(2x_1) - x_1^3 \cos(2x_2). \end{cases} \quad (8)$$

Система (7) отвечает управлению $u = \alpha$, а система (8) соответствует управлению $u = -\alpha$.

3 Алгоритм численного решения

Используя вспомогательные утверждения сформулируем численный алгоритм решения задачи. Стартовать траектория может при $u = \alpha$ или $u = -\alpha$, переключения возможны лишь при $\psi_2 = 0$. Для построения множества достижимости найдем концы всех траекторий, удовлетворяющих ПМП, а затем удалим точки которые не принадлежат границе, то есть тут мы используем **Теорему 2**. Сформулируем алгоритм построения множества достижимости:

1. Решим систему (7) с нулевыми начальными условиями до времени $\tilde{t} : x_2(\tilde{t}) = 0$, если такого \tilde{t} нет на отрезке $[t_0, T]$, то положим $\tilde{t} = T$.
2. Организуем перебор по времени переключения управления $t^* \in [t_0, t^*]$.
3. Решим систему (6) с начальными условиями $(x_1(t^*), x_2(t^*), 1, 0)$, до времени переключения $t^{**} : \psi_2(t^{**}) = 0$.

4. Решим систему (6) с начальными условиями $(x_1(t^{**}), x_2(t^{**}), -1, 0)$, до следующего времени переключения, и будем повторять пункты (3)–(4) до тех пор, пока $t < T$.
5. Прделаем аналогичную операцию для системы (8), только после первого переключения начальные условия будут $(x_1(t^*), x_2(t^*), -1, 0)$.
6. Построить общую кривую и удалить из нее самопересечения. Для этого нужно перебрать все возможные пересечения ломаных, образующих полученную кривую, и удалить куски, заключенные между ними. Полученная линия и будет границей множества достижимости.

4 Различные примеры выполнения программ

Начальные параметры: $\alpha = 2, t = 1$.

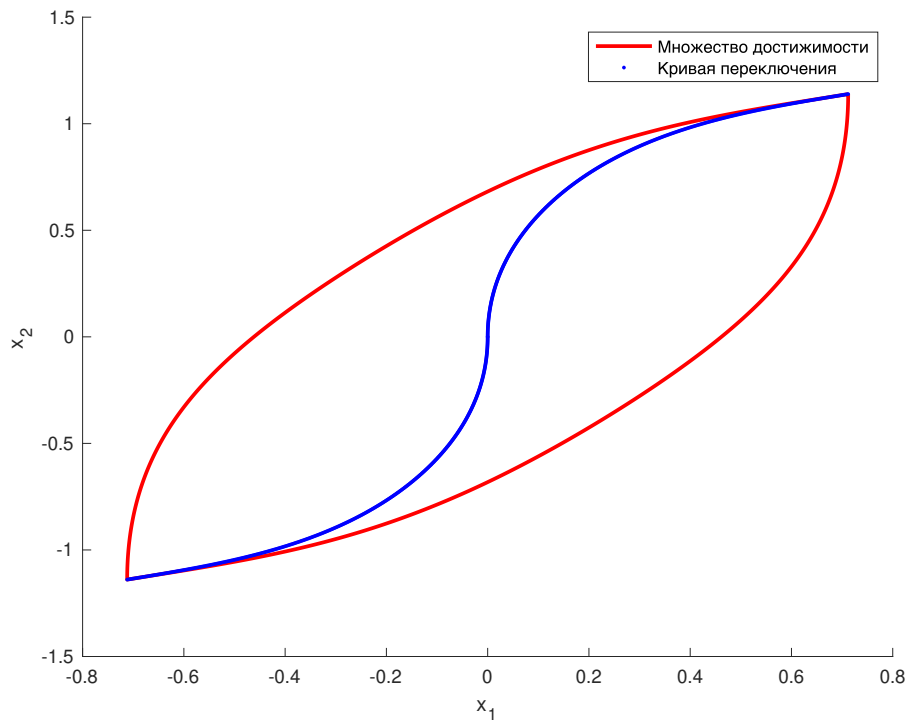


Рис. 1: Множество достижимости при $\alpha = 2, t = 1$.

Начальные параметры: $\alpha = 10, t = 1$.

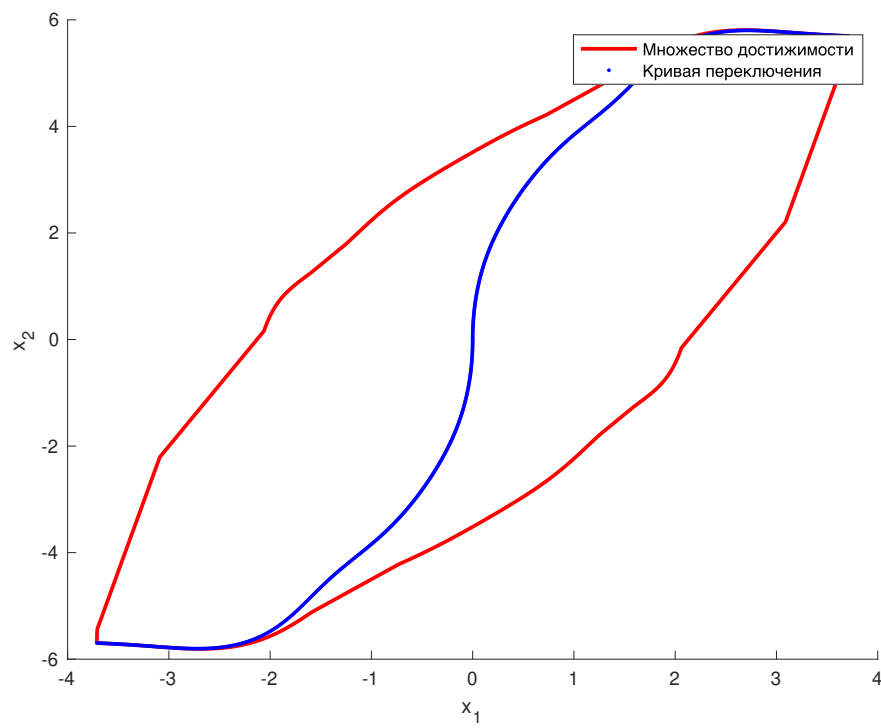


Рис. 2: Множество достижимости при $\alpha = 10, t = 1$.

Начальные параметры: $\alpha = 3, t_1 = 0.2, t_2 = 1.7, N = 7$.

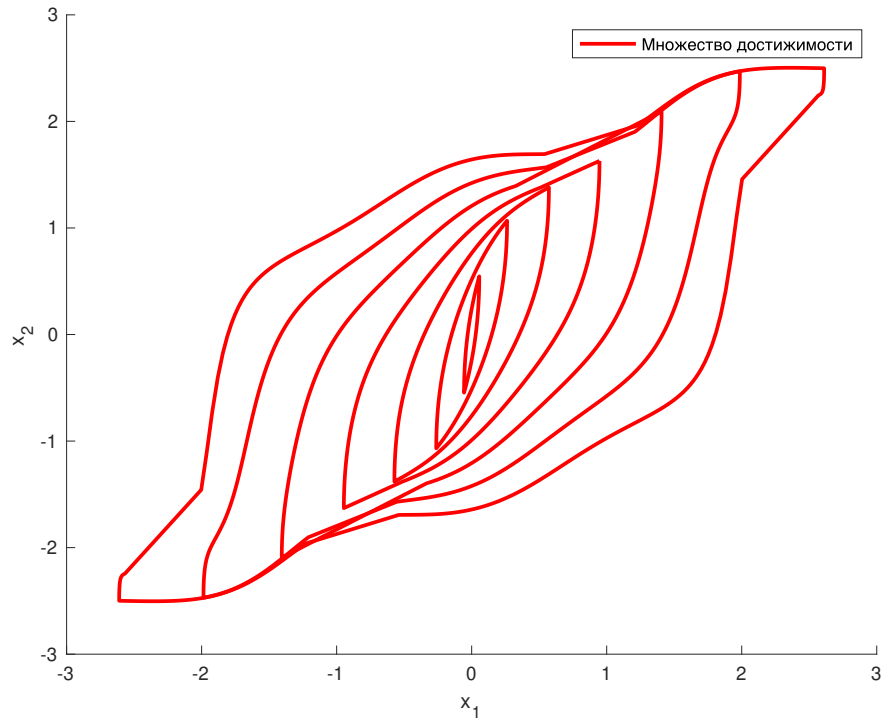


Рис. 3: Множество достижимости при $\alpha = 3, t = [0.2 \dots 1.7]$.

Начальные параметры: $\alpha = 1, t_1 = 1, t_2 = 2, N = 3$.

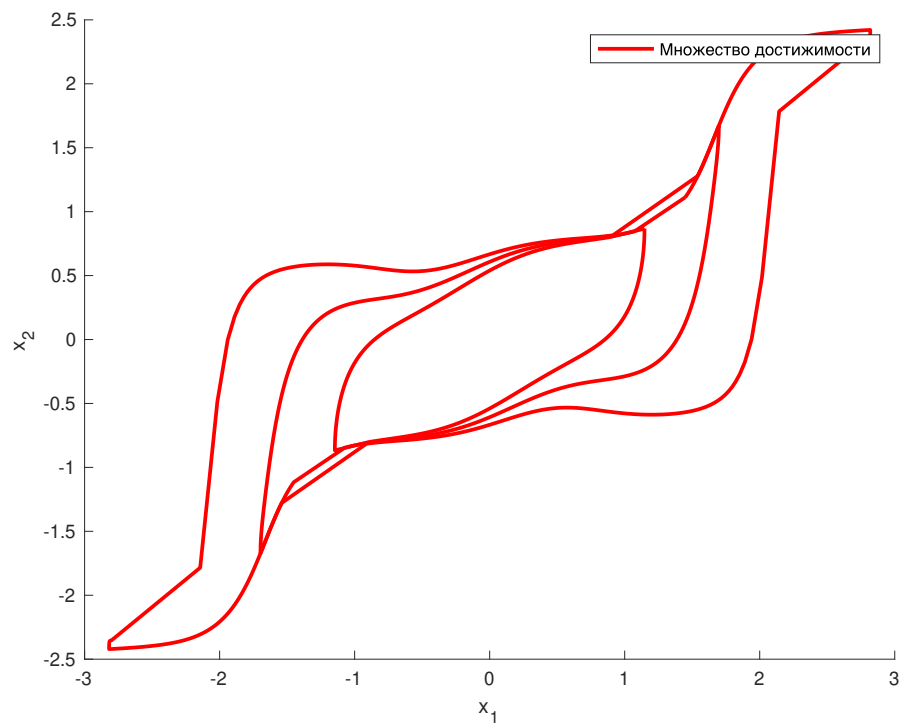


Рис. 4: Множество достижимости при $\alpha = 3, t = [1, 1.50, 2]$.



5 Библиография

Список литературы

- [1] Комаров Юрий, лекции по оптимальному управлению. ВМК МГУ, Москва, 2nd edition, 2021.